

## آزمایش بزرگ مقیاس و ارزیابی عددی پارامترهای موثر کشش ریزشمع در خاک ماسه‌ی لای دار (مطالعه موردی: شهر بندرعباس)

مقاله پژوهشی

عادل عساکرها، استادیار، گروه مهندسی عمران، دانشکده فنی مهندسی، دانشگاه هرمزگان، بندرعباس، ایران  
محمد رضا ترابی، دانش آموخته کارشناسی ارشد، دانشکده فنی مهندسی، دانشگاه هرمزگان، بندرعباس، ایران

\*پست الکترونیکی نویسنده مسئول: asakereh@hormozgan.ac.ir

دریافت: ۹۸/۰۴/۲۳ - پذیرش: ۹۸/۰۴/۲۸

صفحه ۶۷-۷۸

### چکیده

بمنظور بهبود و افزایش ظرفیت باربری خاک برای تحمل نیروی فشاری وزن و نیروی زلزله در صورت مناسب نبودن خاک ساختگاه در اغلب پروژه‌های عمرانی، باید خاک محل بهسازی گردد. از طرفی با توجه به نیروی بالابرندۀ بسیار بزرگ برخی سازه‌ها در حین وقوع زلزله یا نیروی باد، کنترل این نیروی کششی نیز الزامی می‌باشد. اجرای ریزشمع بدلیل سهولت فراوان اجرایی، امکان اجرا در چند حیله مختلف کاری و اجرای همزمان کلیه مرافق اساخت، در مقایسه با روش‌های دیگر از سرعت بسیار بالایی برخوردار است. در این مطالعه به بررسی موردی استفاده از ریزشمع در بهسازی خاک ماسه‌ی لای دار، پروژه‌ای در بندرعباس پرداخته شده و مرافق مختلف آزمایشات بارگذاری ریزشمع شرح داده است. سپس به بیان جزئیات و نتایج تست کششی روی یکی از ریزشمع‌های محل پروژه پرداخته شده و پس از آن با مدلسازی عددی ریزشمع، تأثیر پارامترهای مانند طول، قطر و ارتفاع لایه بهسازی شده خاک با استفاده از روش اجزای محدود مورد بررسی قرار گرفته است. نتایج نشان داده است که با افزایش طول و قطر ریزشمع میزان نشست به طرز چشم‌گیری کاهش می‌یابد و با افزایش عمق بهسازی خاک نیز میزان نشست ریزشمع کاهش می‌یابد.

واژه‌های کلیدی: ریزشمع، مدلسازی عددی، ظرفیت باربری، بهسازی خاک، عمق بهسازی

### ۱- مقدمه

خاک دارای برتری می‌باشد (مرندی و دیگران ۱۳۸۱). استفاده از ریزشمع‌ها در بسیاری از پروژه‌های ژئوتکنیکی رایج شده است. ریزشمع‌ها با قطر کم به طور کلی می‌توانند در فضاهای کوچک و کم عرض بدون محدودیت به لحاظ طول و زاویه نصب اجرا شوند. به دلیل همین مزایا ریزشمع‌ها به طور گسترده برای افزایش ظرفیت باربری و یا کاهش نشست در مهندسی پی به کار می‌روند (FHWA, 2005). به دلیل اندرکنش بین ریزشمع و خاک اطراف آن، که روی ناحیه‌ی گسیختگی زیر فونداسیون تأثیرگذار است، فونداسیون‌هایی که

ریزشمع به شمع‌های با قطر کوچک (کمتر از ۳۰ سانتی‌متر) اطلاق می‌گردد که پس از حفر چاه، مسلح کننده فولادی در داخل آن جایگذاری شده و بصورت درجا تزریق می‌شود. ریزشمع علاوه بر آنکه قابلیت تحمل بارهای قائم و افقی را به عنوان یک شالوده شمعی دارد، باعث تسليح بر جای زمین به دلیل تزریق در خاک اطراف می‌شود. لذا ریزشمع در مقایسه با سایر روش‌های تسليح که فقط خصوصیات مکانیکی خاک را بهبود می‌دهند و نیز در مقایسه با شمع که فقط عنوان عنصر باربر عمل می‌کند، بدلیل عملکرد مرکب (باربر بودن و اصلاح

ریزشمع بودند. در این تحقیق پارامتری برای مقایسه گروه ریزشمع های قائم و مایل بر اساس طول کل شمع در گروه و Cadden خمس اندازه گیری شده تحت بار واردہ تعریف شد (et al., 2004). نتایج آزمایش های بارگذاری که در یک تحقیق دیگر بر روی ریزشمع های اجرایشده در ماسه شن دار انجام شدند نیز مؤید این امر هستند که چشم پوشی از مقاومت نوک، بیش از حد محافظه کارانه است. همچنین تحلیل نتایج آزمایش ها نشان می دهد که حالت بارگذاری (کششی یا فشاری) بر چگونگی انتقال بارهای متوسط در ریزشمع های دارای قطر کم Gomez و تأثیرگذار می باشد (Holman et al., 2007).

همکارانش، با توجه به کاربرد گسترده ریزشمع ها برای تقویت پی های موجود، مطالعه ای را برای بررسی میزان مقاومت پیوستگی بین ملات ریزشمع و بتن پی ترتیب دادند. نتایج حاصل از آزمایش های بارگذاری این تحقیق با نتایج سایر آزمایش های انجام شده بر روی چنین اتصالاتی مقایسه شده و در نهایت پیشنهاداتی برای تحقیقات آینده ارائه کردند (Cushing et al., 2002) و همکارانش، نتایج Gomez et al., 2004) Cushing و همکاران، نتایج یکسری آزمایش های محوری فشاری که بر روی ریزشمع های منفرد واقع در سنگ انجام شده بودند را گزارش کردند و پیشنهاداتی نیز برای حداکثر جابجایی قائم قابل قبول تحت اثر بار طراحی (بدون وقوع ترک) در چنین ریزشمع هایی ارائه گردید (Dapena et al., 2004).

مقدار نشت های تحکیمی حاصل از ریختن یک لایه خاک ۲ متری بر روی زمین محل احداث یک تصفیه خانه فاضلاب در شمال اسپانیا توسط، ثبت نمودند. ایجاد اصطکاک منفی در جداره ریزشمع های مورد استفاده به عنوان پی این سازه در اثر نشت های تحکیمی غیرقابل اجتناب است. مقادیر این نیروها نیز گزارش شده است (Dapena et al., 1991).

Muhunthan و Rodriguez-Markez مدل اجزاء محدود Rizshum ریزشمع های منفرد و گروه ریزشمع های تحت اثر بار استاتیکی را مورد مطالعه قرار دادند (Muhunthan et al., 2002). در تحقیق دیگری که توسط احمدی و همکاران، در دانشگاه گیلان انجام گردید ابتدا به منظور بررسی و مقایسه نتایج عددی و واقعی، دو مورد اجرایی موجود، به صورت عددی و توسط نرم افزار پارامترهای واقعی موجود، کمانشی Shields مدل شدند (احمدی گلسفیدی ۱۳۸۸).

ریزشمع ها را مطالعه نموده و بارهای کمانشی حاصل از یک

به وسیله ریزشمع تقویت می شوند، دارای ظرفیت باربری به طورقابل توجهی بیشتر نسبت به فونداسیون های تقویت نشده می باشند (Hwang et al., 2017). علاوه بر این از تکنولوژی ریزشمع ها در کاربردهای دیگری هم استفاده می شود که از آن میان می توان به پایدارسازی گودها، شیروانی ها، شیب ها و لغزش ها و تحمل بارهای برکنش و دینامیکی واردہ بر سازه ها اشاره نمود (نورزاد و دیگران ۱۳۸۷). از زمان ابداع تکنولوژی ریزشمع در دهه ۱۹۵۰ میلادی در ایتالیا، تحقیقات مختلفی در رابطه با این عناصر انجام شده است که با استفاده از تحلیل های عددی، مطالعات آزمایشگاهی و نیز آزمایش های میدانی به بررسی جنبه های گوناگون عملکرد ریزشمع ها در شرایط اجرایی و بارگذاری مختلف پرداخته اند. از جمله این تحقیقات می توان به استاندارد FHWA، مطالعات Juran و همکاران برای تهیه دستورالعمل های طراحی و اجرای ریزشمع در کاربردهای مختلف مهندسی اعم از تقویت پی سازه ها و تسليح بر جای خاک اشاره نمود (Juran et al., 1999).

آزمایش های بارگذاری بزرگ مقیاس در خاک ماسه شن دار، خاک های رسوبی و ماسه ای برای بررسی عملکرد ریزشمع ها و بررسی مقاومت جداره و نوک ریزشمع و چگونگی انتقال بار نیز انجام شده است. با توجه به اینکه ریزشمع ها هم در فشار و هم در کشش عملکرد مناسبی دارند، به آزمایش های کششی و آزمایش Holman et al., 2007)، Stuedlein et al., 2008)، Chiara et al., 2016 Chen و Misra، روشهای تحلیلی برای طراحی ریزشمع های تحت کشش و فشار ارائه کرده اند. در مطالعه آنها، برای بررسی رفتار بار جابجایی اینگونه ریزشمع ها، یک نمونه مدلسازی تحلیلی انجام شده که در آن رفتار متقابل خاک شمع مد نظر Tonon et al., 2004) قرار گرفته است.

Mammino از روشهای احتمال گرا برای طراحی ژئوتکنیکی و سازه های ریزشمع های به کار رفته به عنوان پی در یک کارخانه در کاستاریکا استفاده نمودند و مسائل اجرایی خاصی را در این زمینه مد نظر قرار دارند (Tonon et al., 2004). یک پروژه عظیم دیگر برای تحقیق در مورد رفتار گروهی و شبکه ای ریزشمع ها برای کاربردهای نظامی در ایالات متحده توسط Weinstein و Bruce در این پروژه انجام گردید، نشان دهنده مزیت مقیاس بزرگ در این پروژه انجام گردید. آزمایشاتی که در نسبی استفاده از گروه ریزشمع ها و نیز سودمندی مشبک کردن

ارتفاع لایه بهسازی شده و تأثیر آن بر ظرفیت باربری کششی ریز شمع پرداخته شده است.

رابطه نیمه تجربی را با بارهای مجاز پیشنهادی توسط آینین Namaها و دستورالعمل‌های طراحی مقایسه کرد (Shields et al., 2007).

## ۲- آزمایش‌های ریز شمع مطابق با استاندارد FHWA

در پژوهه‌های تقویت فوندانسیون به وسیله ریز شمع، اجرای حداقل یک آزمایش بارگذاری ریز شمع با بار طراحی نهایی برای ارزیابی فرضیات طراحی و کفايت روش‌های اجرایی پیمانکار، به عنوان یک استاندارد صنعتی شناخته شده است. انجام آزمایش بارگذاری ریز شمع را می‌توان از طریق آزمایش شاهد بر روی ریز شمع‌های بهره‌برداری در طی دوره ساخت و اجرا بدست آورد.

آزمایش با بارگذاری محوری استاتیکی بر روی ریز شمع‌های منفرد انجام می‌شود. در این آزمایش‌ها معمولاً، بارگذاری محوری بر روی شمع ادامه دارد مادامی که، شمع بتواند حداقل بار آزمایش از پیش تعیین شده را تحمل کند، یا به یک حد جایجایی محوری سازه‌ای از پیش تعیین شده رسیده و یا به آستانه خروش از پیش تعیین شده زمین برسد. با گرایش به سمت ظرفیت‌های بالاتر در ریز شمع‌های «باربر»، ممکن است گسیختگی به شکل کاهش ناگهانی بار و افزایش در جایه‌جایی وابسته به گسیختگی سازه‌ای، رخ دهد. این موضوع مستلزم ملاحظات دقیق در طراحی ریز شمع‌های ظرفیت بالا می‌باشد ملخصات Wolosick et al., (2007). هدف از آزمایش درجای ریز شمع‌ها، بررسی این موضوع است که آیا ریز شمع، می‌تواند بارهای طراحی را بدون حرکت اضافی و با یک ضربه اطمینان کافی در طول عمر بهره‌برداری سازه، تحمل کند. همچنین این آزمایش‌ها برای بررسی کفايت حفاری، اجرا و عملیات تزریق پیمانکار، قبل و در حین ساخت شمع‌های بهره‌برداری می‌باشد (نیازی و دیگران، ۱۳۹۱).

به طور کلی با توجه به کارکرد در نظر گرفته شده برای میکروپایل و برای اطمینان از فرض‌های طراحی صورت گرفته، آزمایش‌های مختلفی می‌توان انجام داد. این آزمایش‌ها عبارتند از: آزمایش بارگذاری فشاری، آزمایش بارگذاری کششی و آزمایش بارگذاری جانبی.

روش اعمال بار در آزمایش‌های بارگذاری به این صورت است که اگر ریز شمع برای بارهای کششی و فشاری طراحی شده باشد، پس بایستی در هر دو شرایط بارگذاری آزمایش شود. اگر قرار است، یک ریز شمع تحت هر دو بار فشاری و

با بررسی پیشینه تحقیقات انجام شده روی ریز شمع مشخص می‌گردد که، در آغاز، استفاده از ریز شمع‌ها تنها در تقویت بستر ضعیف ساختمان‌های موجود، مورد توجه قرار داشت. لیکن رفته‌رفته و با توسعه و اجرای این روش در کشورهای مختلف، دامنه کاربرد آنها به دیگر عرصه‌های مهندسی ژئوتکنیک نیز گسترش یافت. پس از انجام مطالعات گسترده، در حال حاضر، دستورالعمل ارائه شده توسط سازمان بزرگراه‌های آمریکا به عنوان مرجع قابل قبول و مورد استفاده طراحان و پیمانکاران اجرای ریز شمع می‌باشد. بخش گسترده‌ای از مطالعات انجام شده روی ریز شمع‌ها به کاربرد آنها برای بهسازی خاک کناره‌های پایه پل، مرمت و تقویت بستر سازه‌های تاریخی و تقویت فوندانسیون‌های ساخته شده اشاره دارد. کاربرد ریز شمع‌ها در این موارد به صورت تکی و گروه ریز شمع مورد مطالعه قرار گرفته‌اند. در مطالعات اخیر به روش‌های نوین برای طراحی ریز شمع تحت کشش و فشار پرداخته شده است. مطالعات آزمایشگاهی و عددی برای بررسی ظرفیت باربری پی سطحی مسلح شده با ریز شمع نیز توسط برخی محققان انجام شده است. اما مدلسازی ریز شمع‌های تحت کشش کمتر مورد مطالعه قرار گرفته‌اند. با توجه به اهمیت فوق العاده و کاربردهای گسترده ریز شمع‌ها بررسی عملکرد آنها در مواجهه با بارگذاری‌های مختلف با استفاده از آزمایش‌های کوچک و بزرگ مقیاس و همچنین مدلسازی عددی، با توجه به اجرای ریز شمع‌ها در شرایط مختلف زمین شناختی، باربری و نیز پاسخ لرزه‌ای ریز شمع‌ها بسیار مهم می‌باشد. در این مطالعه ریز شمع‌های اجرا شده در پژوهه‌ای در شهر بندرعباس مورد مطالعه قرار گرفته است. خاک محل پژوهه ماسه لای دار می‌باشد. با توجه به نوع سازه‌ی در دست احداث در محل پژوهه، که چند مناره با ارتفاع حدود ۷۰ متر می‌باشد، هدف از طراحی ریز شمع‌ها کنترل نیروی Uplift می‌باشد. یعنی عملکرد اصلی مورد انتظار از ریز شمع‌ها عملکرد کششی می‌باشد. به همین دلیل ابتدا مراحل و نتایج انجام آزمایش بزرگ مقیاس کشش روی یکی از ریز شمع‌ها ارائه شده است. در این تحقیق با استفاده از مدلسازی عددی اجزای محدود به بررسی تغییرات ارتفاع، قطر ریز شمع و نیز

طبق آیین نامه FHWa، بار نهایی اعمالی در آزمایش، هم برای آزمایش فشاری و هم آزمایش کششی برابر با ۱۶۰٪ درصد بار طراحی ریزشمع ها می باشد. در آزمایش کشش، کل جابجایی اندازه گیری شده در بار طراحی ریزشمع (DL) بایستی کمتر از مقادیر مجاز تغییر مکان (۲/۵۴ سانتیمتر) برای سازه هی ساختمان باشد. در این پژوهه نیز بارگذاری تا بار طراحی و تا ۱/۶ برابر بار طراحی اعمال شده است. انتظار می رود که در آزمایش کشش، کل جابجایی اندازه گیری شده کمتر از مقادیر مجاز تغییر مکان (۲/۵۴ سانتیمتر) برای سازه هی ساختمان باشد. از طرفی بار کششی طراحی در نظر گرفته شده برای هر ریزشمع برای جلوگیری از پدیده Uplift فونداسیون مناره معادل ۳۲ تن می باشد. این مقدار از تحلیل عددی فونداسیون و المان های ریزشمع با سختی ۴۰ تن بر سانتیمتر حاصل گردیده است. بنابراین هر ریزشمع باید بتواند بیش از بار ۳۲ تن را بدون گسیختگی و با جابجایی در محدوده مجاز تحمل کند.

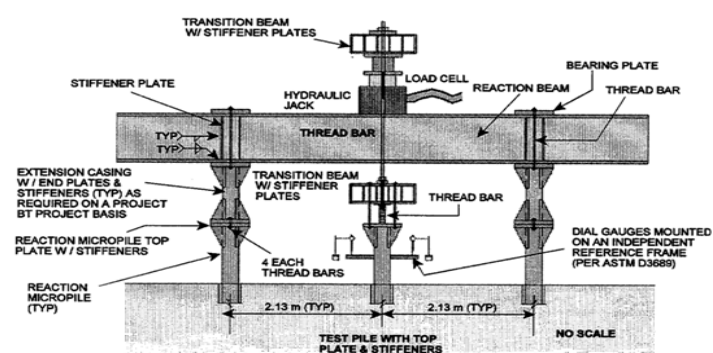
بارگذاری و باربرداری در چهار مرحله انجام شده است. در هر مرحله درصدی از بار کل به ریزشمع وارد شده است. بارگذاری در هر مرحله تا زمانی که تغییر مکان گیج ثابت میماند، ادامه یافته است. در هر مرحله گیج تغییر مکان قرائت شده، سپس بار برگذاری تا رسیدن به بار صفر انجام شده است. فرآیند بارگذاری همانطور که در بخش های قبل نیز ذکر شد به صورت پله ای است. در هر پله حدود ۵ تن افزایش بار اعمال شده است. زمان نگهداری بار تا ثابت شدن گیج تغییر مکان نیز حدود ۲ دقیقه می باشد. **شکل ۱** طرح شماتیک سیستم آزمایش کشش را نشان می دهد.

کششی آزمایش شود، پیشنهاد می گردد که ابتدا آزمایش کششی صورت پذیرد. بدین ترتیب شمع می تواند در طی آزمایش فشاری استراحت کند، در حالی که بخشنی از جابجایی رو به بالای باقیمانده در طی آزمایش کششی، هنوز رخ می دهدن. اعمال بار را می توان طی یک سیکل به طور فرآینده تا ظرفیت مورد نیاز پیش برد، یا در طی چند سیکل در حین اعمال بار و حذف آن به حداکثر بار رسید. اگر هدف رسیدن به ظرفیت نهایی شمع باشد، ممکن است استفاده از بارگذاری چرخه ای ترجیح داده شود. تحلیل الاستیک و جابجایی های باقیمانده اندازه گیری شده در طی بارگذاری چرخه ای دیدگاه های ارزشمندی در مورد عملکرد شمع و مد گسیختگی تأمین خواهد کرد و هزینه های اضافی را به حداقل می رساند (نیازی و همکاران، ۱۳۹۱).

## ۱-۲-آزمایش کشش ریزشمع در خاک ماسه لای دار شهر بندرعباس

در پژوهه مورد مطالعه در این تحقیق با توجه به نوع سازه در دست احداث در محل پژوهه، که چند مناره با ارتفاع حدود ۷۰ متر می باشند، هدف از طراحی ریزشمع ها کترل نیروی Uplift می باشد. یعنی عملکرد اصلی مورد انتظار از ریزشمع ها عملکرد کششی می باشد.

در این بخش به بیان جزئیات و نتایج تست کششی روی یکی از ریزشمع های محل پژوهه پرداخته شده است. هدف از انجام آزمایش کشش، اطمینان حاصل کردن از طراحی و ساخت ریزشمع ها و تطابق مشخصات خاک پژوهه با مشخصات اعلامی می باشد. نتیجه های این اطمینان، ایستادگی مطلوب ریزشمع ها در برابر بار طراحی بدون تغییر مکان اضافی در طول عمر سرویس می باشد.



شکل ۱. طرح شماتیک سیستم آزمایش کشش (FHWa 2005)

۶۰ تن)، می‌باشد. شکل ۲ تا شکل ۴ تجهیزات آماده شده برای انجام تست کشش در محل پروژه مورد مطالعه را نشان می‌دهند.

تجهیزات آزمایش کشش شامل قاب عکس العمل، دو گیج اندازه‌گیری تغییر مکان‌های کوچک (با دقت اندازه‌گیری مقادیر کمتر از ۰/۰۲۵ میلی‌متر)، پایه گیج اندازه‌گیری، گیج فشار (با دقت ۵۰ کیلوپاسکال) و جک اعمال بار (با قدرت اعمال بار

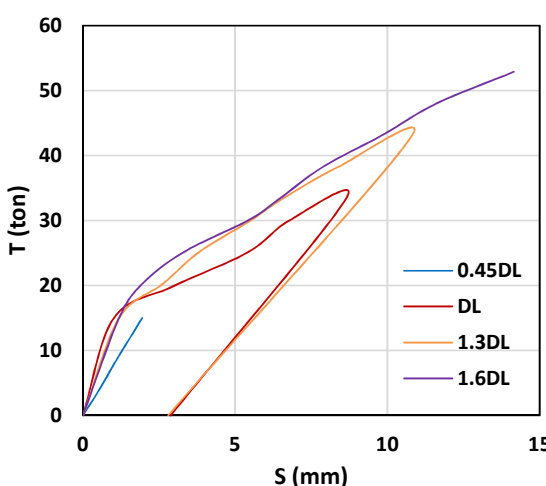


شکل ۲. سیستم قاب عکس العمل

هدف از انجام این آزمایش بررسی اینمی سیستم ریزش مع در مقابل بارهای طراحی در زمان بهره‌برداری است. با توجه به شکل ۵ ریز شمع مورد نظر در بار ۴۰ تن تغییر مکانی به میزان ۱۰ میلی‌متر در کشش نشان می‌دهد که معادل سختی ۴۰ تن بر سانتی‌متر می‌باشد. این تغییر مکان و سختی کششی میکروپایل معادل میزان پیش‌بینی شده در طراحی می‌باشد. همچنین ظرفیت کششی این ریز شمع با توجه به نتایج آزمایش پیش از ۳۲ تن می‌باشد که در طراحی این ظرفیت ۳۲ تن پیش‌بینی شده بود. بنابراین، طراحی و مراحل اجرای ریزش مع قابل قبول می‌باشد.



شکل ۳. گیج قرائت تغییر مکان و پایه گیج



شکل ۵. منحنی نیرو و تغییر مکان ریزش مع



شکل ۴. جک اعمال بار

### ۳- روش تحقیق

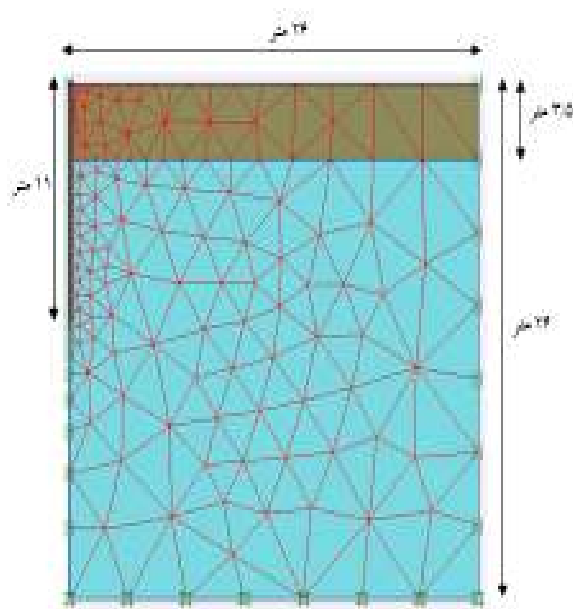
جهت شبیه سازی محیط خاک و ریزشمع در تحلیل مجموعه ای از فرضیات بصورت ثابت در نظر گرفته شده است که عبارتند از:

۱. خاک از نوع ماسه لایی دار است.
۲. تحلیل بصورت دو بعدی و متقارن محوری و همچنین در شرایط اعمال بار انجام پذیرفته است.
۳. محیط خاک الاستوپلاستیک و همسانگرد می باشد و مدل رفتاری خاک، موهر - کولمب در نظر گرفته شده است.
۴. المان ریزشمع از مدل رفتاری Linear-Elastic تبعیت می کند.
۵. جهت انجام مدلسازی از المان های مثلثی شکل با ۱۵ گره استفاده شده است.

خاک مورد مطالعه به دو بخش کلی تقسیم می شود. از عمق صفر الی ۳ متر خاک ML بوده که بوسیله اختلاط خاک با دوغاب سیمان بهسازی شده و مابقی خاک SM است. مشخصات مکانیکی خاک با توجه به نتایج آزمایشگاهی بدست آمده در جدول ۱ ارائه شده است.

جدول ۱. پارامترهای مکانیکی خاک (گزارش ژئوتکنیک ۱۳۹۲)

عمق	$\gamma$ (KN/m <sup>3</sup> )	E(KN/m <sup>2</sup> )	$\nu$	C (KN/m <sup>2</sup> )	$\varphi(^{\circ})$	$\psi(^{\circ})$
۰ - ۲/۵	۲۰	۲۰۰۰۰	.۰/۲۵	۵۰۰	۱۷	۱۱
۲/۵ - ۲۰	۱۶	۲۰۰۰	.۰/۳	۰	۳۰	۱۲

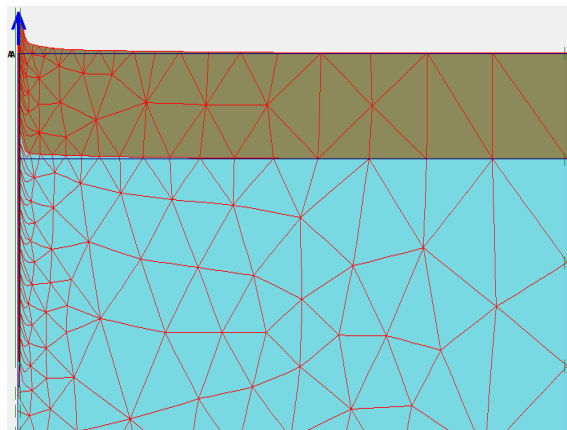


شکل ۶. شرایط مرزی و مش بندی مدلسازی عددی

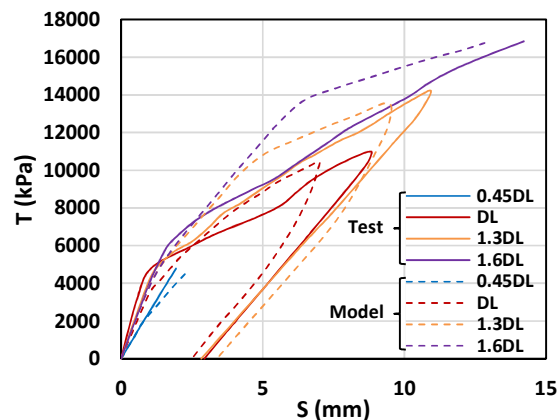
در این تحقیق به مطالعه موردی ظرفیت باربری کششی ریزشمع واقع در خاک ماسه‌ی لایی دار پرداخته شده است. یکی از روش‌های مطالعه نحوه عملکرد و رفتار سازه‌های مختلف در مهندسی ژئوتکنیک، استفاده از مدل‌های عددی است. در گذشته استفاده از روش‌های آزمایشگاهی برای تحقیق، ترجیح داده می‌شد، ولی به مرور زمان با گسترش روش‌های عددی و همچنین پیدایش کامپیوترها با قدرت پردازش بالا، مدلسازی عددی جایگاه واقعی خود را پیدا نموده است. نرم افزار PLAXIS یک نرم‌افزار تحلیل عددی است که به روش المان محدود مسائل ژئوتکنیکی را مدل سازی و تحلیل می‌کند. این نرم‌افزار یک برنامه کامپیوتری المان محدود دو بعدی با هدف بخصوصی است که برای انجام آنالیز پایداری و تغییرشکل در کاربردهای مختلف ژئوتکنیکی استفاده می‌شود (Plaxis Manual).

بدون شک مهمترین مسئله در هر تحلیل عددی نحوه تعریف شرایط مرزی محیط و فرضیات بکار گرفته شده در آن است. هر چه این فرضیات بیشتر به حالت طبیعی شباهت داشته باشند، نتایج حاصل از تحلیل عددی نیز به نتایج واقعی نزدیکتر خواهد بود. به همین دلیل همواره محققان سعی بر آن داشته اند تا با شناخت کامل رفتار نواحی مرزی در نمونه‌های آزمایشگاهی، تمامی شرایط موجود را در مدلسازی عددی وارد آورند. شرایط مرزی و مش بندی انتخاب شده در این تحقیق بصورت شکل ۶ در نظر گرفته شده است.

در این بخش با استفاده از نرم افزار PLAXIS 2D، به مدلسازی ریزشمع مطابق آزمایش انجام شده، پرداخته شد. در شکل ۷ نتایج بدست آمده از نمودار کشش-نشست مدلسازی‌های فوق با نتایج آزمایشگاهی مربوطه مقایسه شده است. در شکل ۸ تغییرشکل مدل عددی در اثر کشش زیرشمع نمایش داده شده است.



شکل ۸. تغییر شکل حاصل از مدلسازی عددی



شکل ۷. مقایسه منحنی کشش-نشست مدلسازی عددی و مطالعه آزمایشگاهی

جدول ۲. مقادیر پارامترهای مورد بررسی در مطالعه پارامتری

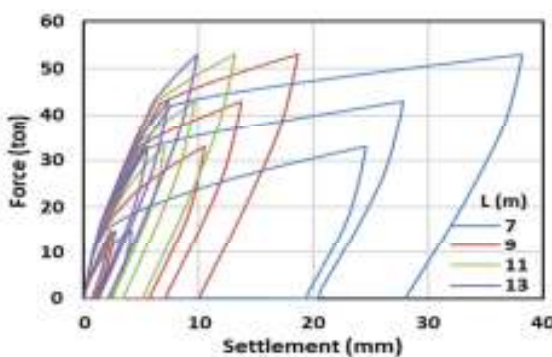
ردیف	پارامترهای مورد بررسی			
	ردیف	طول ریز شمع (متر)	قطر ریز شمع (سانتیمتر)	ارتفاع لایه بهسازی (متر)
۱	۱	۲۰	۱۱	۲/۵۰
۲	۲	۲۰	۹/۷، ۵	۲/۵۰
۳	۳	۱۱	۱۵، ۲۵، ۳۰، ۴۰	۲/۵۰
۴	۴	۲۰	۱۱	۵/۲۵، ۷/۵، ۱/۷۵

#### ۴- تحلیل نتایج

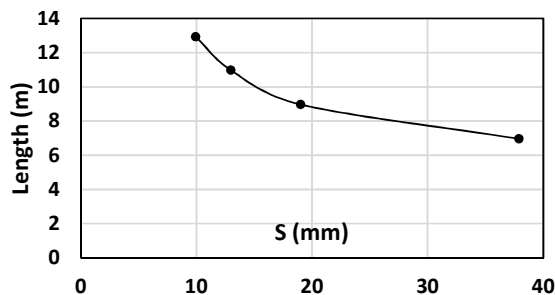
شمع ۲۸ میلی متر است، به عبارتی حدود ۷۴ درصد کاهش را نشان می دهد. همچنین با افزایش طول ریز شمع، شب منحنی کاهش می باید که می تواند میان این موضوع باشد که با افزایش عمق و عبور از طول بحرانی ریز شمع ( $L' = 15 D$ )، اثر افزایش ضریب اصطکاک کاهش یافته و بنابراین تغییر ظرفیت باربری شمع، تنها تحت اثر ارتفاع شمع است.

در این بخش به بررسی تغییرات ارتفاع، قطر ریز شمع و نیز ارتفاع لایه بهسازی شده (مطابق جدول ۲) و تأثیر آن بر ظرفیت باربری کششی ریز شمع پرداخته می شود. در جدول ۲، ردیف یک، مدلسازی مبنا می باشد که مطابق با مشخصات آزمایش بزرگ مقیاس و سایر ردیفها مربوط به مطالعات پارامتریک است.

در شکل ۹ نمودارهای بار-نشست در ۴ دوره بارگذاری و باربرداری به میزان ۰/۴۵، ۱، ۰/۳۰ و ۱/۶۰ بار طراحی برای ریز شمع با قطر ۰/۲ متر و ارتفاع ۵، ۹/۷، ۵ و ۱۳ متر مشاهده می شود. شکل ۱۰ اثر تغییرات ارتفاع ریز شمع در بازه ۵ الی ۱۳ متر را بر نشست نشان می دهد. با افزایش طول ریز شمع، میزان نشست، به طرز چشمگیری کاهش یافته است. تغییر نشست به واسطه تغییر طول ۷ متر به ۱۳ متر ارتفاع

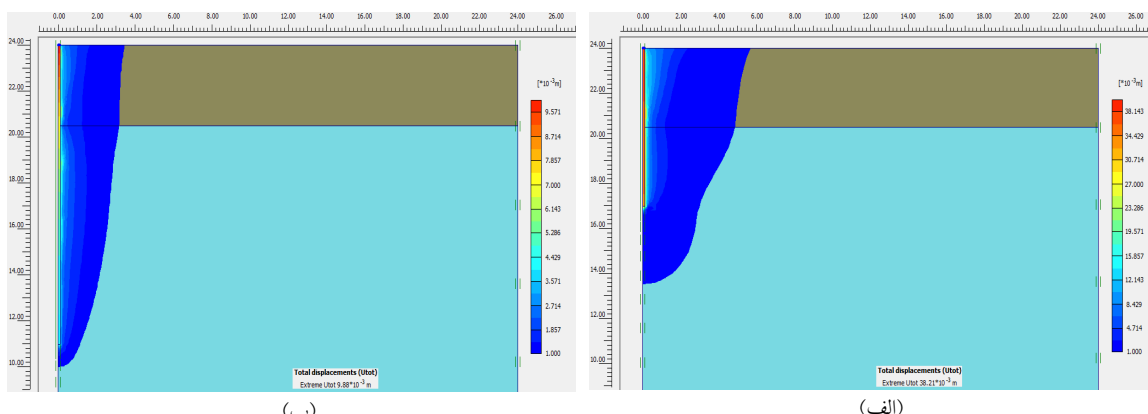


شکل ۹. منحنی نیرو-نشست به ازای تغییرات طول ریز شمع



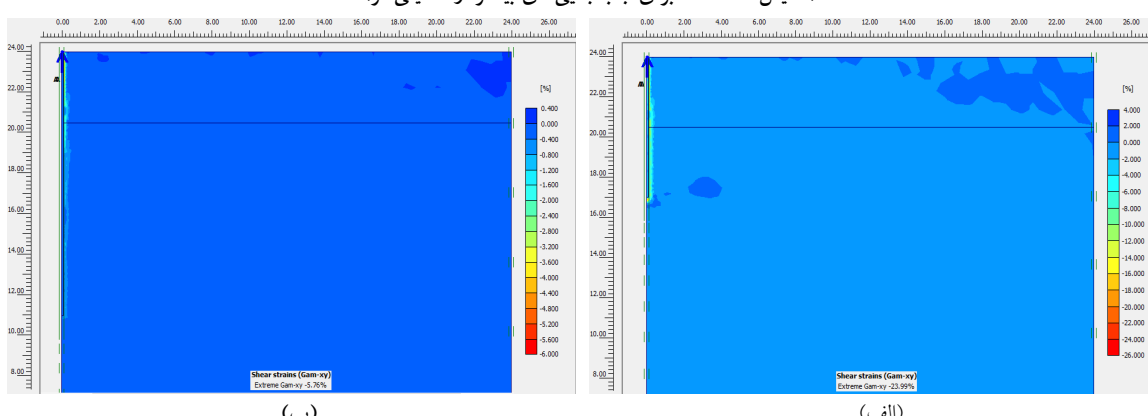
شکل ۱۰. منحنی نشت خاک به ازای تغییرات طول ریزشمع

در شکل های ۱۱ و ۱۲ کانتورهای جابه جایی کلی و کرنش برشی برای ریز شمع با طول های مختلف ارائه شده است. جهت مقایسه بهتر جابه جایی های عمودی، این کانتورها برای جابه جایی بیشتر از ۱ میلی متر نیز ترسیم و ارائه گردیده است سایر پارامترهای ریز شمع مطابق ردیف ۱ از جدول ۲ می باشد.



شکل ۱۱. جابه جایی کلی حاصل از مدلسازی عددی ریز شمع با طول (الف) ۷ متر و (ب) ۱۳ متر

(نمایش داده شده برای جابه جایی های بیشتر از ۱ میلی متر)

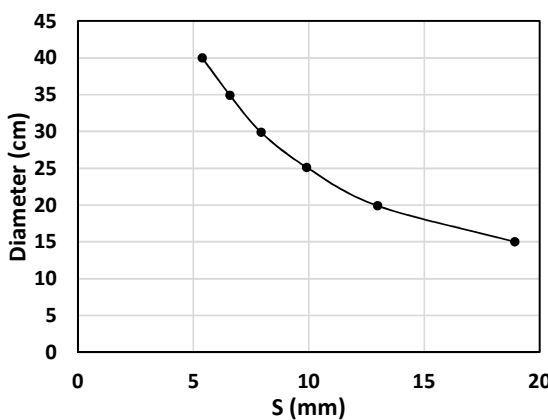


شکل ۱۲. کرنش برشی حاصل از مدلسازی عددی ریز شمع با طول (الف) ۷ متر و (ب) ۱۳ متر

ارتفاع ثابت ۱۱ متر و قطرهای ۱۵، ۲۰، ۲۵، ۳۰، ۳۵ و ۴۰ سانتی متر می باشد. شکل ۱۴ اثر تغییرات قطر ریز شمع در بازه

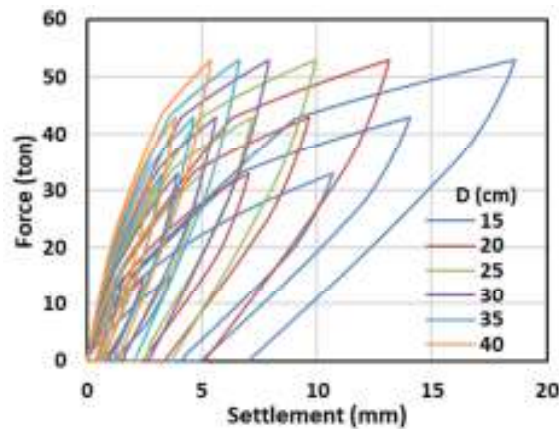
شکل ۱۳ نشان دهنده نمودارهای بارگذاری و باربرداری تحت بار ۱/۶۰، ۱/۴۵ و ۱/۳۰ برابر بار طراحی برای ریز شمع با

شکل ۱۳. منحنی نیرو-نشست به ازای تغییرات قطر ریزشمع

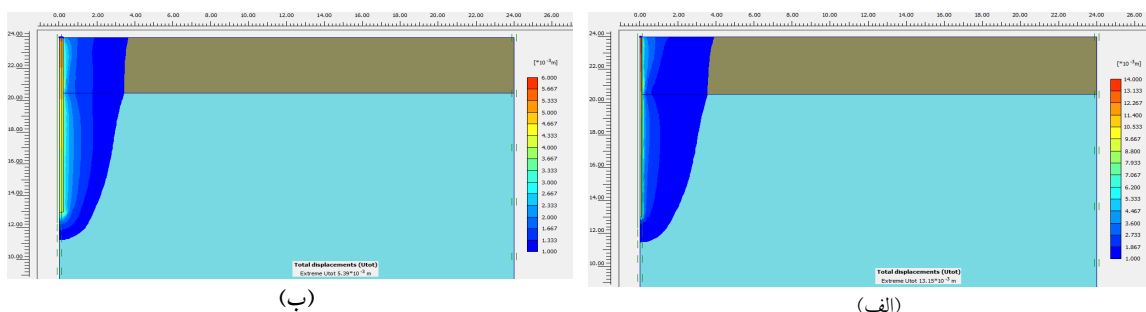


شکل ۱۴. منحنی نشست خاک به ازای تغییرات قطر ریزشمع

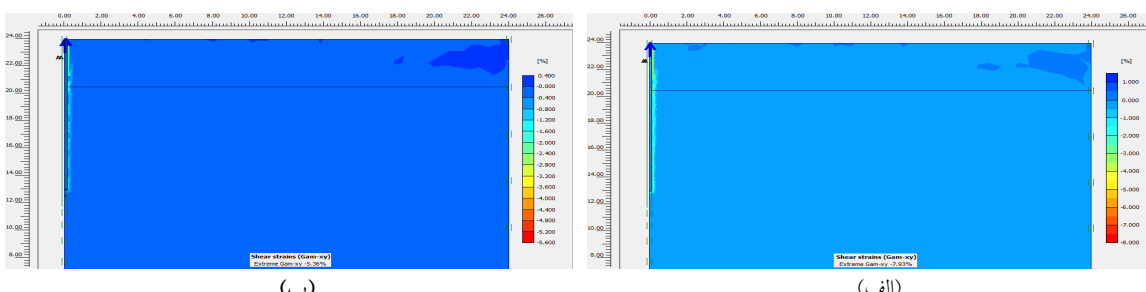
۱۵ الی ۴۰ سانتی‌متر را بر نشست نشان می‌دهد. مشاهده می‌گردد که با افزایش قطر ریزشمع میزان نشست به طرز چشم گیری کاهش می‌یابد. تغییر نشست به واسطهٔ تغییر قطر ۱۵ به ۴۰ سانتی‌متر (۱۳/۶ میلی‌متر می‌باشد. به عبارتی حدود ۷۲ درصد کاهش را نشان می‌دهد. همچنین با افزایش قطر ریزشمع، شیب منحنی کاهش می‌یابد.



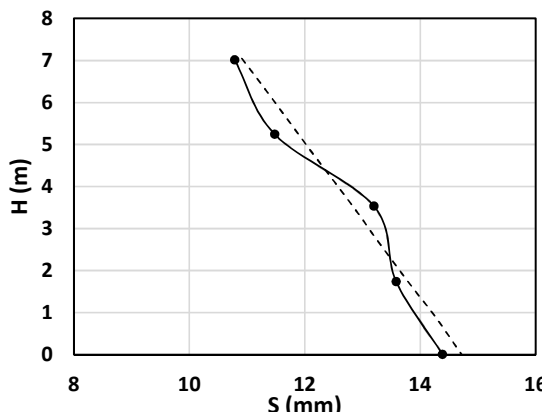
شکل‌های ۱۵ و ۱۶ کانتورهای جابجایی کلی و کرنش برشی برای ریز شمع با قطرهای ۱۵، ۲۰، ۲۵، ۳۰، ۳۵ و ۴۰ سانتی‌متر ارائه شده است. جهت مقایسه بهتر جابه‌جایی‌های عمودی، این کانتورها برای جابه‌جایی بیشتر از ۱ میلی‌متر نیز ترسیم و ارائه گردیده است. سایر پارامترهای ریزشمع مطابق ردیف ۱ از جدول ۲ می‌باشد.



شکل ۱۵. جابه‌جایی کلی حاصل از مدل‌سازی عددی ریزشمع با قطر (الف) ۲۰ سانتی‌متر و (ب) ۴۰ سانتی‌متر  
(نمایش داده شده برای جابه‌جایی‌های بیشتر از ۱ میلی‌متر)



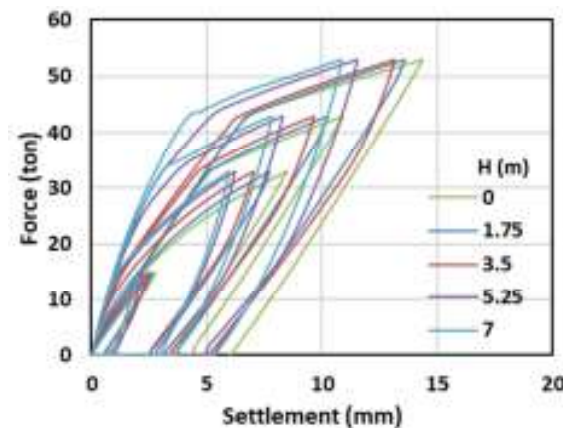
شکل ۱۶. کرش برشی حاصل از مدل‌سازی عددی ریزشمع با قطر (الف) ۲۰ سانتی‌متر و (ب) ۳۵ سانتی‌متر



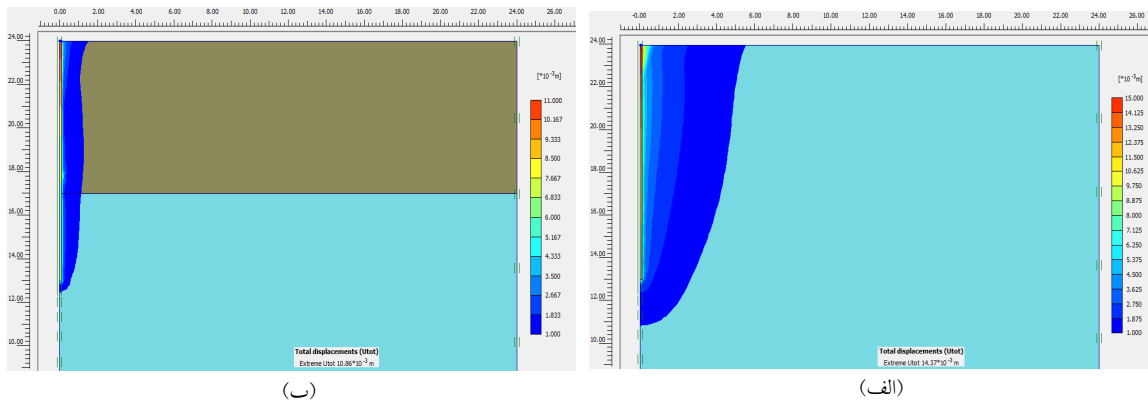
شکل ۱۸. منحنی نشست خاک به ازای تغییرات ارتفاع بهسازی شده خاک

شکل ۱۹ کانتورهای جابجایی کلی برای ریز شمع واقع در خاک بهسازی شده به عمق های صفر،  $1\frac{1}{4}$ ،  $2\frac{1}{4}$ ،  $3\frac{1}{4}$  و  $4\frac{1}{4}$  متر ارائه شده است. جهت مقایسه بهتر جابجایی های عمودی، این کانتورها برای جابجایی بیشتر از ۱ تر نیز ترسیم و ارائه گردیده است.

در شکل ۱۷ نمودارهای بار نشست ریز شمع واقع در خاک بهسازی شده با ارتفاع لایه بهسازی صفر،  $1\frac{1}{4}$ ،  $2\frac{1}{4}$  و  $3\frac{1}{4}$  متر ترسیم شده است. شکل ۱۸ اثر تغییرات ارتفاع لایه بهسازی شده در بازه صفر الی ۷ متر را بر نشست ریز شمع نشان می دهد. با افزایش عمق بهسازی خاک، میزان نشست ریز شمع کاهش می یابد و تغییر نشست به واسطه ای این تغییر عمق (صفر به  $7\frac{1}{4}$  متر)، حدود ۲۵ درصد کاهش را نشان می دهد.



شکل ۱۷. منحنی نیرو-نشست به ازای تغییرات ارتفاع بهسازی شده لایه خاک



شکل ۱۹. جابجایی کلی حاصل از مدل عددی ریز شمع واقع در خاک (الف) بدون بهسازی و (ب) بهسازی شده با ارتفاع ۷ متر (نمایش داده شده برای جابجایی بیشتر از ۱ میلی متر)

## ۵- نتیجه گیری

- با افزایش طول ریز شمع میزان نشست به طرز چشمگیری کاهش می یابد. تغییر نشست به واسطه ای تغییر طول (۷) متر به  $1\frac{1}{4}$  متر ارتفاع شمع ( $2\frac{1}{4}$  میلی متر) می باشد. به عبارتی حدود ۷۴ درصد کاهش را نشان می دهد.

در این مطالعه به بررسی موردی استفاده از ریز شمع در فونداسیون پروژه ای در شهر بندرعباس و مطالعات پارامتریک بر روی این سیستم پرداخته شده است. خلاصه نتایج این تحقیق به شرح پیوست می باشد.

نورزاد، ر.، سقایی، غ.، (۱۳۸۷)، "بررسی رفتار لرزه‌ای ریز شمع‌های مایل"، چهارمین کنگره ملی مهندسی عمران، دانشگاه تهران.

- Cushing, A. G., Stonecheck, S. A., Campbell, B. D., Dodds, S. D., (2004), "An Evaluation of the Load-Displacement Behavior and Load Test Interpretation of Micro piles in Rock", Proceedings of 5th International Conference on Case Histories and Geotechnical Engineering, New York.

- Dapena, E., Diaz-Ortiz, J. M., Gonzalez, C., Soriano, A., (1991), "Settlements in a Building with Micropile Foundations", Proceedings of the 13th International Conference on Soil Mechanics and Foundation Engineering.

- Gomez, J., Cadden, A. W., Traylor, R. P., Bruce, D. A., (2002), "Connection Capacity between Micro piles and Concrete Footings: Interpretation of Test Results and Design Recommendations".

- Holman, T. P., Barakauskas, B. D., (2007), "Mechanics of Micro pile Performance from Instrumented Load Tests", Proceedings of the 7<sup>th</sup> International Symposium on Field Measurements in Geo mechanics.

-Plaxis 2D Ver 8, "Manual", ISBN 90-5809508-8, Delft University of Technology & PLAXIS b.v., The Netherlands.

-Shields, D. R., (2007), "Buckling of Micropiles", Journal of Geotechnical and Geoenvironmental Engineering, ASCE, Vol. 133, Iss. 3, Technical Notes.

-Wolosick, J. R., Bonar, E., Nufer, P. J., (2007), "Micropile Foundation Repair and Underpinning, Arts and Science Museum, University of Puerto Rico, Mayaguez", The 8<sup>th</sup> International Workshop on Micro piles, Toronto, Ontario, Canada.

-Cadden, A. W. Gomez, J. E. Bruce, D. Armour, T., (2004), "Micro piles: Recent Advances and Future Trends", ASCE GSP No. 125, Reston, Virginia.

۲. با افزایش طول ریز شمع، شب منحنی کاهش می‌یابد، که می‌تواند مبین این موضوع باشد که با افزایش عمق و عبور از طول بحرانی ریز شمع ( $L=D15$ ) اثر افزایش ضریب اصطکاک کاهش یافته و بنابراین تغییر ظرفیت باربری شمع، تنها تحت اثر ارتفاع شمع می‌باشد.

۳. با افزایش قطر ریز شمع میزان نشست به طرز چشمگیری کاهش می‌یابد. تغییر نشست به واسطه‌ی تغییر قطر (۱۵ به ۴۰ سانتی‌متر طول شمع) ۱۳/۶ میلی‌متر، حدود ۷۲ درصد کاهش را نشان می‌دهد. همچنین با افزایش قطر ریز شمع، شب منحنی قطر ریز شمع نشست کاهش می‌یابد.

۴. با در نظر گرفتن ریز شمعی با ارتفاع ۱۱ متر و قطر ۲۰ سانتی‌متر، با افزایش دو متر ارتفاع یا افزایش پنج سانتی‌متر قطر ریز شمع، کاهش نشست به میزان تقریبی سه میلی‌متر حاصل می‌گردد. که با توجه به مجموع هزینه‌های اجرا و مصالح مصرفی، افزایش قطر ریز شمع مقرر به صرفه‌تر می‌باشد. البته باید توجه داشت که مطابق تعریف ریز شمع طبق آئین نامه FHLWA، قطر ریز شمع به ۳۰ سانتی‌متر محدود می‌گردد.

۵. با افزایش عمق بهسازی خاک، میزان نشست ریز شمع کاهش می‌یابد. تغییر نشست به واسطه‌ی این تغییر عمق (صرف به ۷ متر) ۳/۶ میلی‌متر، حدود ۲۵ درصد کاهش را نشان می‌دهد.

## ۶- مراجع

- احمدی گلسفیدی، م..، (۱۳۸۸)، "ارزیابی توان باربری ریز شمع‌ها با استفاده از نتایج آزمایشات بارگذاری"، پایان نامه کارشناسی ارشد، دانشکده مهندسی، دانشگاه گیلان.

- نیازی، غ. ر. محققی، م. و محمدخانی، ب..، (۱۳۹۱)، "مجموعه روش‌های بهسازی خاک راهنمای جامع طراحی و اجرای ریز شمع‌ها"، ترجمه آیین نامه FHLWA، چاپ اول.

- مرندی، م.، باقری پور، م. کیوانی‌فر، م..، (۱۳۸۱)، "میکروپایل و نقش آن در بهسازی زمین"، ششمین همایش انجمن زمین‌شناسی ایران، دانشگاه تهران.

- "گزارش ژئوتکنیک پروژه احداث مسجد جامع بندرعباس" (۱۳۹۲)، شرکت مهندسین مشاور ژئوتکنیک کاوش آزمای پژوهشی.

- Misra, A. Chen, C. H., (2004), "Analytical Solution for Micro pile Design under Tension and Compression", Geotechnical and Geological Engineering, Vol. 22, pp. 199-225.
- Muhunthan, B. Itani, R., (2002), "An Investigation of Soil-Interaction and Performance of Micro piles for Retrofits", Research, Department of Civil and Environmental Engineering, Washington State University, Pullman, WA, USA.
- Stuedlein, A. W. Gibson, M. D., Horvitz, G. E., (2008), "Tension and Compression Micropile Load Tests in Gravelly Sand", 6th International Conference on Case Histories and Geotechnical Engineering, Arlington, VA.
- Tonon, F. Mammino, A., (2004), "Reliability-Based Design and Construction Issues for a Micropile Foundation in Costa Rica", ASCE Practical Periodical on Structural Design and Construction, Vol. 9, No. 4.
- Chiara Capatti, M., Dezi, F., Morici, M., (2016), "Field tests on micro piles under dynamic lateral loading", procedia Engineering, Vol. 158, pp. 236 – 241.
- FHWA, (2005), "Micro-pile Design and Construction. United States Department of Transportation", No. FHWA NHI-05-039, December, pp. 5-1–5-18.
- Holman, T. P., Barakauskas, B. D., (2007), "Mechanics of Micro pile Performance from Instrumented Load Tests", Proceedings of the 7th International Symposium on Field Measurements in Geo mechanics.
- Hwang, T.H. Kim, K.H. Shin, J.H., (2017), "Effective installation of micro piles to enhance bearing capacity of micro piled raft", Soils and Foundations, Volume 57, Issue 1, February, pp. 36-49.
- Juran, I., Bruce, D. A. DiMillio, A. Benslimane, A., (1999), "Micro piles: the State of Practice, Part II: Design of Single Micropiles and Groups and Networks of Micropiles", Ground Improvement, Vol. 3, pp. 89-110.